

# ЭЛЕКТРОННЫЙ ПАРАМАГНИТНЫЙ РЕЗОНАНС ИОНОВ $Dy^{3+}$ В ИТТРИЙ-АЛЮМИНИЕВОМ ГРАНАТЕ

© Г.Р.Асатрян,\* П.Г.Баранов, В.И.Жеков\*\*

Физико-технический институт им. А.Ф.Иоффе Российской академии наук,  
194021 Санкт-Петербург, Россия

\* Институт физических исследований Академии наук Армении,  
378410 Аштарак, Армения

\*\* Институт общей физики Российской академии наук,  
101000 Москва, Россия

(Поступила в Редакцию 18 мая 1995 г.

В окончательной редакции 24 июля 1995 г.)

Проведены исследования спектров электронного парамагнитного резонанса (ЭПР) ионов  $Dy^{3+}$ , локализованных в додекаэдрических позициях (с-узлы) решетки иттрий-алюминиевого граната. Спектры ЭПР  $Y_3Al_5O_{12}$  :  $Dy^{3+}$  хорошо описываются спиновым гамильтонианом ромбической симметрии с эффективным спином  $S = 1/2$  и следующими значениями  $g$ -факторов:  $g_x = 19.0 \pm 0.5$ ,  $g_y = 0.75 \pm 0.05$ ,  $g_z = 0.43 \pm 0.1$ . Впервые наблюдалась сверхтонкая структура от нечетных изотопов  $Dy^{3+}$ , позволившая однозначно интерпретировать спектры ЭПР. Найдены константы сверхтонкого взаимодействия для двух нечетных изотопов диспрозия, которые оказались равными для  $^{163}Dy$   $A_x = 736 \cdot 10^{-4}$ ,  $A_y = 50 \cdot 10^{-4}$ ,  $A_z = 40 \cdot 10^{-4}$  ( $\text{cm}^{-1}$ ), для  $^{161}Dy$   $A_x = 527 \cdot 10^{-4}$ ,  $A_y = 36 \cdot 10^{-4}$ ,  $A_z = 29 \cdot 10^{-4}$  ( $\text{cm}^{-1}$ ).

Монокристаллы гранатов, активированные примесями редкоземельных элементов, находят широкое применение в квантовой электронике. Метод электронного парамагнитного резонанса (ЭПР) позволяет получить наиболее детальную информацию о структуре и зарядовом состоянии примесей в кристаллической матрице. ЭПР широко используется для изучения лазерных кристаллов, тем не менее до последнего времени ряд объектов остается малоизученным этим методом. Так, в последней нашей работе [1] были обнаружены спектры ЭПР термически заселенного первого возбужденного состояния нижних штарковских компонент основного мультиплета  $^4I_{15/2}$  ионов  $Er^{3+}$  в  $Y_3Al_5O_{12}$ , а также были исследованы ионы эрбия в основном и возбужденном состояниях в  $Lu_3Al_5O_{12}$  и смешанных гранатах  $(Y_{1-x}Lu_x)_3Al_5O_{12}$ , где  $0 \leq x \leq 1$ .

В настоящей работе мы детально исследовали спектры ЭПР другого редкоземельного иона ( $Dy^{3+}$ ) в иттрий-алюминиевом гранате. Интерес к этому объекту отчасти связан с тем, что на ионах  $Dy^{3+}$

( $^6H_{11/2} \rightarrow ^6H_{13/2}$ ) в кристаллах YLiF<sub>4</sub> [2] получено самое длинноволновое излучение ( $\lambda = 4.34 \mu\text{m}$ ) для твердотельных лазеров. Ранее сообщалось о наблюдении спектров ЭПР ионов Dy<sup>3+</sup> (электронная конфигурация  $4f^9$ , основное состояние  $^6H_{15/2}$ ) в ряде гранатов [3–5], однако авторам не удалось наблюдать сверхтонкую структуру (СТС) и, следовательно, однозначно интерпретировать сигналы ЭПР.

## 1. Методика эксперимента

В настоящей работе исследовались монокристаллы Y<sub>3</sub>Al<sub>5</sub>O<sub>12</sub>, активированные ионами Dy<sup>3+</sup> с концентрацией 0.1 at.%. Кристаллы выращивались методом горизонтальной кристаллизации в Институте кристаллографии Российской академии наук. Спектры ЭПР монокристаллов Y<sub>3</sub>Al<sub>5</sub>O<sub>12</sub> с примесью ионов Dy<sup>3+</sup> изучались в трехсантиметровом диапазоне длин волн в температурном интервале 4–50 K на стандартном радиоспектрометре фирмы JEOL. Образцы для исследований предварительно ориентировались рентгенодифракционным методом с точностью  $\pm 0.5^\circ$  и вырезались в кристаллографических плоскостях (001) и (011) в виде прямоугольных параллелепипедов размером  $1.5 \times 2 \times 5 \text{ mm}$ . Более точное ориентирование главных магнитных осей относительно внешнего магнитного поля производилось радиоспектральным методом непосредственно в резонаторе радиоспектрометра по известным ЭПР-сигналам. Наряду со спектрами ЭПР ионов диспрозия в исследованных нами образцах кристаллов гранатов наблюдались сигналы от неконтролируемых парамагнитных примесей, ионов Mo<sup>3+</sup>, Er<sup>3+</sup> и Nd<sup>3+</sup>, что значительно усложняло подробное исследование ориентационных зависимостей спектров, и, в особенности, СТС от <sup>161</sup>Dy и <sup>163</sup>Dy.

## 2. Экспериментальные результаты

Схема энергетических уровней иона Dy<sup>3+</sup> в монокристаллах Y<sub>3</sub>Al<sub>5</sub>O<sub>12</sub> изучалась в работах [6–8]. Основной мультиплет иона Dy<sup>3+</sup> —  $^6H_{15/2}$  — расщепляется кристаллическим полем на ряд штарковских компонент, на нижней из которых наблюдается ЭПР-переход в трехсантиметровом диапазоне. Из-за большого расщепления между штарковскими компонентами мультиплета  $^6H_{15/2}$  возбужденное состояние в спектрах ЭПР не обнаруживается. Ввиду ряда особенностей (резкая анизотропия положения и интенсивности линий, наложения линий от других примесных ионов) наблюдение спектров ЭПР ионов Dy<sup>3+</sup> в монокристаллах иттрий-алюминиевого граната при произвольной ориентации внешнего магнитного поля представляет значительные трудности. В кристаллах Y<sub>3</sub>Al<sub>5</sub>O<sub>12</sub> ионы Dy<sup>3+</sup>, как и большинство редкоземельных ионов, занимают додекаэдрическую позицию, замещая ионы иттрия. В этой позиции они координированы восьмью ионами кислорода таким образом, что локальная симметрия получается D<sub>2</sub> [9]. Парамагнитный ион, локализованный в додекаэдрических положениях решетки граната (с-узлы), имеет шесть магнитно-нейтронных положений, ориентированных так, что их локальные магнитные оси  $x$

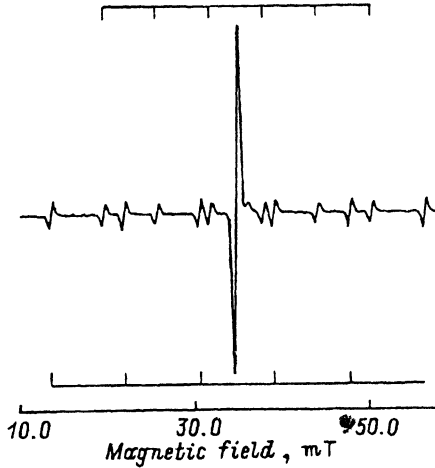


Рис. 1. Низкополевая часть спектра ЭПР (компоненты  $g_x$ ) иона  $Dy^{3+}$  в иттрий-алюминиевом гранате при  $B \parallel [001]$ , зарегистрированная на частоте 9.3 GHz при  $T = 8$  K.

направлены вдоль одного из направлений типа [001], а оси  $y$  и  $z$  совпадают с кристаллографическими направлениями типа [011]. При вращении внешнего магнитного поля  $B$  в плоскости (011) картина упрощается тем, что в спектре ЭПР иона в  $c$ -узле из-за попарной эквивалентности некоторых узлов вместо шести наблюдаются только четыре линии. Более того, эти линии сливаются в два сигнала при  $B \parallel [001]$  и  $B \parallel [111]$  и в три сигнала при ориентации  $B \parallel [011]$ .

На рис. 1 приведен фрагмент спектра ЭПР, наблюдавшийся в низких магнитных полях в кристалле  $Y_3Al_5O_{12}:Dy^{3+}$  в ориентации  $B \parallel [100]$  при температуре 8 K. Видны интенсивная линия и две группы линий малой интенсивности, каждая из которых состоит из шести эквидистантных линий. Природный диспрозий кроме четных изотопов с ядерным спином  $I = 0$  имеет также два нечетных изотопа, каждый из которых имеет ядерный спин  $I = 5/2$ . Естественная распространенность этих изотопов ( $^{161}Dy$  и  $^{163}Dy$ ) равна 19.0 и 24.9% соответственно, а отношение ядерных магнитных моментов  $^{163}Dy/^{161}Dy$  равно 1.41. Спектр, приведенный на рис. 1, полностью соответствует ожидаемому для ионов  $Dy^{3+}$ . Две группы по шесть линий в каждой представляют собой компоненты СТС для нечетных изотопов диспрозия, а центральная интенсивная линия принадлежит четным изотопам. Отношение расстояний между линиями СТС в каждой группе соответствует отношению ядерных магнитных моментов нечетных изотопов диспрозия, отношение интенсивностей наблюдаемых линий в спектре ЭПР соответствует природной распространенности изотопов. Из рис. 1 также видно, что в спектре ЭПР ионов  $Dy^{3+}$  в  $Y_3Al_5O_{12}$  при ориентации  $B \parallel [001]$ , при которой линия, соответствующая  $g_x$ , достаточно узка, со стороны больших полей наблюдается сигнал слабой интенсивности (примерно на два порядка меньше).

Спектр ЭПР ионов  $Dy^{3+}$  резко анизотропен. С изменением ориентации магнитного поля относительно осей кристалла линии ЭПР сдвигаются в высокие магнитные поля, изменяются также расстояния между компонентами СТС.

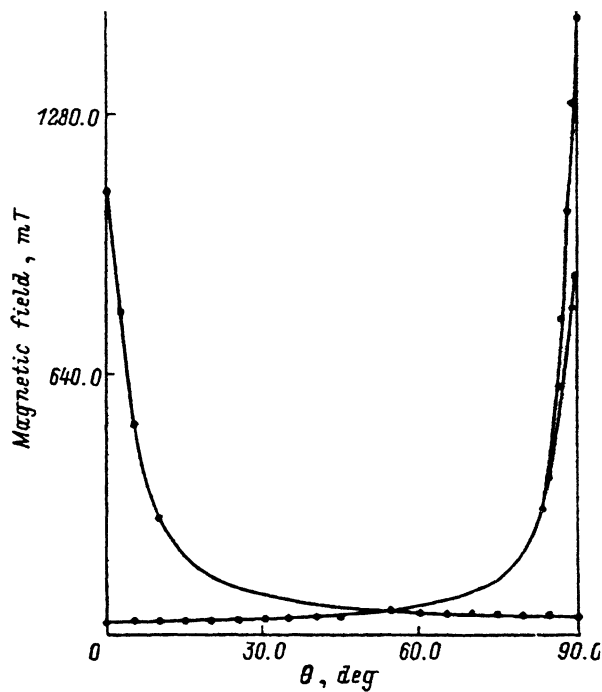


Рис. 2. Угловые зависимости резонансных магнитных полей иона  $Dy^{3+}$  в  $Y_3Al_5O_{12}$  при вращении внешнего магнитного поля в плоскости (110). Сплошные кривые — расчет, точки — экспериментальные значения.

На рис. 2 точками показаны экспериментальные значения резонансных магнитных полей, соответствующие положениям интенсивной линии, принадлежащей четным изотопам диспрозия при вращении кристалла в магнитном поле в плоскости (110). Эти ориентационные зависимости хорошо описываются спиновым гамильтонианом ромбической симметрии вида

$$\mathcal{H} = \beta B g S + S A I, \quad (1)$$

где эффективный спин  $S = 1/2$ ,  $B$  — напряженность внешнего магнитного поля,  $g$  и  $A$  — тензоры  $g$ -фактора и сверхтонкого взаимодействия соответственно.

Из экспериментальных ориентационных зависимостей спектров ЭПР получены следующие главные значения  $g$ -тензора:  $g_x = 19.0 \pm 0.5$ ,  $g_y = 0.75 \pm 0.05$  и  $g_z = 0.43 \pm 0.1$ . При этом направления главных локальных магнитных осей иона  $Dy^{3+}$  в гранате относительно кристаллографических осей решетки совпадают с вышеприведенными. Следует отметить, что полученные значения величин  $g$ -факторов являются характерными для ионов диспрозия в различных кристаллах, изученных ранее методом ЭПР [10, 11].

Более сложные ориентационные зависимости наблюдались для сверхтонких компонент нечетных изотопов диспрозия. На рис. 3, 4 показаны экспериментальные точки, отражающие эти зависимости для изотопа  $^{163}Dy$ . Там же приведены теоретические кривые, рассчитанные

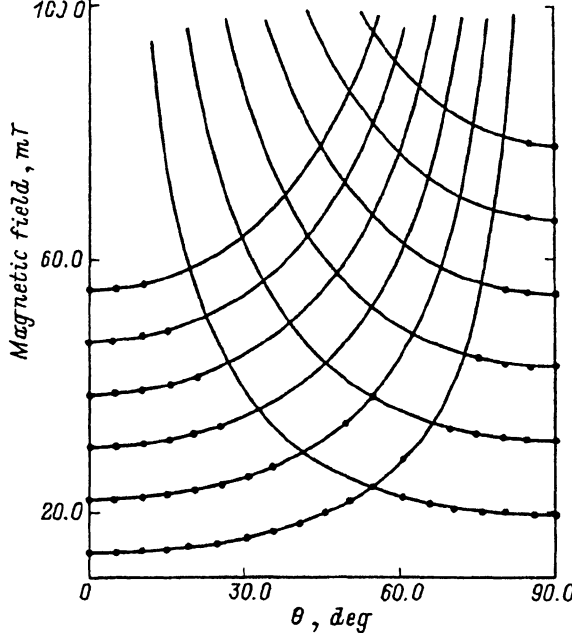


Рис. 3. Экспериментальные (точки) и расчетные (сплошные кривые) угловые зависимости сверхтонкого расщепления в низкополевой части спектра ЭПР изотопа  $^{163}\text{Dy}^{3+}$  в  $\text{Y}_3\text{Al}_5\text{O}_{12}$  при частоте 9.3 GHz и температуре 8 K.

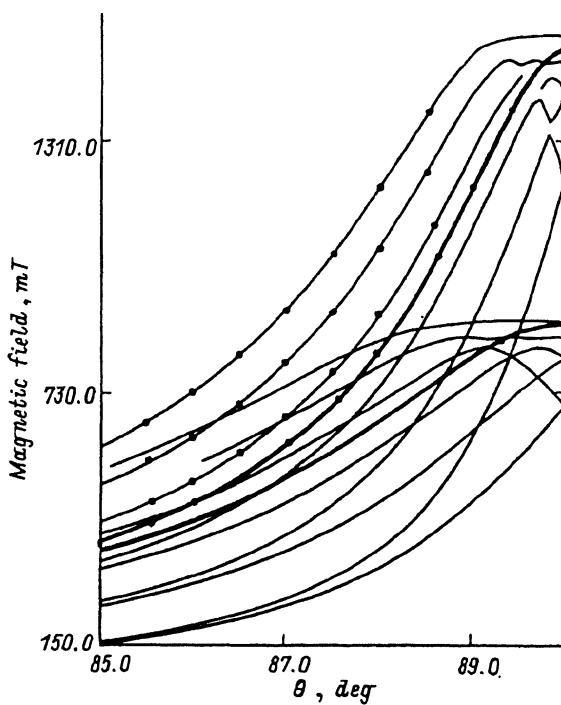


Рис. 4. Угловые зависимости сверхтонкого расщепления иона  $^{163}\text{Dy}^{3+}$  в  $\text{Y}_3\text{Al}_5\text{O}_{12}$  в высоких магнитных полях при частоте 9.3 GHz и  $T = 8$  K. Сплошные кривые — расчет, точки — эксперимент, жирные линии — четвертый изотоп.

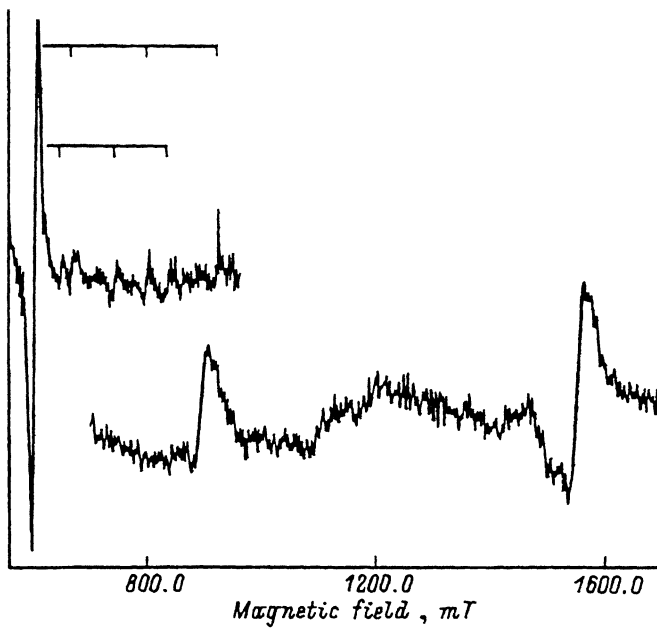


Рис. 5. Спектры ЭПР иона диспрозия в иттрий-алюминиевом гранате при углах  $\theta = 86$  (верхний спектр) и  $90^\circ$  в плоскости (110) при высоких магнитных полях ( $\nu = 9.3\text{ GHz}$  и  $T = 8\text{ K}$ ).

прямой диагонализацией спинового гамильтониана (1). Для упрощения и наглядности на обоих рисунках не приводятся соответствующие экспериментальные и расчетные результаты для другого нечетного изотопа —  $^{161}\text{Dy}$ . Видно практически полное совпадение теоретических кривых с результатами эксперимента. На рис. 3 показан диапазон малых магнитных полей, а на рис. 4 представлен фрагмент угловой зависимости в высоких магнитных полях при изменении  $\theta$  от  $85$  до  $90^\circ$ . Для сравнения на рис. 4 жирными линиями показана также угловая зависимость линий от четных изотопов диспрозия ( $g_y$ - и  $g_z$ -компоненты). При ориентации  $\theta = 90^\circ$  видны две группы линий, соответствующих  $g_y$  (область полей  $860\text{ mT}$ ) и  $g_z$  (область полей  $1500\text{ mT}$ ). При этом видно, что эквидистантность сверхтонких компонент (которая сохраняется еще при  $87^\circ$ ) полностью нарушена при  $90^\circ$ . На рис. 5 показана высокополевая часть спектров ЭПР, зарегистрированных при  $86^\circ$  (верхний спектр) и  $90^\circ$  (нижний спектр). Видно, что для  $\theta = 86^\circ$  СТС по форме подобна СТС для  $\theta = 0^\circ$  (рис. 1) в малых магнитных полях, однако величина сверхтонкого расщепления в сильных магнитных полях примерно на порядок больше. То же соотношение выполняется и для ширины линии: ширина линии ЭПР изменяется от  $4G$  при  $\mathbf{B} \parallel [001]$  до  $360G$  при  $\theta = 90^\circ$  для компоненты  $g_z$ . На спектре ЭПР для  $\theta = 90^\circ$  (нижний спектр на рис. 5) хорошо видны широкие линии от четных изотопов, соответствующие компонентам  $g_y$  и  $g_z$  (линия в больших полях), при этом СТС не разрешена и наблюдаются только широкие линии, соответствующие наиболее вероятным СТС-переходам изотопов  $^{161}\text{Dy}$  и  $^{163}\text{Dy}$ . Положения этих переходов соответствуют результатам, полу-

ченным при решении спинового гамильтониана (1) и приведенным на рис. 4.

В результате расчетов найдены следующие параметры сверхтонкого взаимодействия: для  $^{163}\text{Dy}$   $A_x = 736 \cdot 10^{-4}$ ,  $A_y = 50 \cdot 10^{-4}$ ,  $A_z = 40 \cdot 10^{-4} (\text{cm}^{-1})$ ; для  $^{161}\text{Dy}$   $A_x = 532 \cdot 10^{-4}$ ,  $A_y = 36 \cdot 10^{-4}$ ,  $A_z = 29 \cdot 10^{-4} (\text{cm}^{-1})$ .

### 3. Обсуждение результатов

На основании подробного исследования ориентационных зависимостей и СТС спектров ЭПР монокристаллов иттрий-алюминиевого граната, активированных диспрозием, можно однозначно утверждать, что ионы  $\text{Dy}^{3+}$  замещают  $\text{Y}^{3+}$  в додекаэдрических позициях кристаллической решетки.

Сильная анизотропия констант сверхтонкого взаимодействия указывает на то, что сверхтонкое взаимодействие ионов диспрозия в гранате обусловлено в основном диполь-дипольным взаимодействием магнитных моментов электронов и ядер. Известно [12], что в основных состояниях редкоземельных ионов магнитная СТС обязана главным образом орбитальному вкладу. При воздействии кристаллического поля в рамках приближения, учитывающего только взаимодействия между состояниями с данным угловым моментом  $J$ , существует линейное соотношение между сверхтонким и зеemanовским взаимодействиями. В этом случае при совпадении главных осей тензоров  $\mathbf{g}$  и  $\mathbf{A}$  имеет силу соотношение

$$A_x/g_x = A_y/g_y = A_z/g_z = A_J/g_J$$

или

$$(g_z/g_x)/(A_z/A_x) = (g_z/g_y)/(A_z/A_y) = 1, \quad (2)$$

где  $J$  — результирующий угловой момент, а  $A_J$  — константа магнитного сверхтонкого взаимодействия для свободных трехвалентных ионов.

Подстановка известных величин  $g$ -факторов и констант сверхтонкого взаимодействия, полученных экспериментально, в соотношение (2) дает  $(g_z/g_x)/(A_z/A_x) = 0.4$  и  $(g_z/g_y)/(A_z/A_y) = 0.71$  для  $^{163}\text{Dy}$ . Существенное отличие этих величин от единицы означает нарушение соотношений (2). Отсюда следует, что для описания спектров ЭПР иона  $\text{Dy}^{3+}$  в иттрий-алюминиевом гранате недостаточно использования первого приближения теории возмущений [12]. Это означает, что кристаллическое поле на ионе диспрозия в значительной степени приводит к основному дублету с  $J = 15/2$  возбужденные состояния с другими значениями  $J$ . Для лучшего согласования с экспериментальными результатами необходимо рассмотрение в следующем порядке теории возмущений.

Резкая зависимость ширины линии ЭПР иона  $\text{Dy}^{3+}$  в гранате, качественно соответствующая увеличению расстояния между компонентами СТС в спектрах ЭПР (рис. 5), по-видимому, обусловлена неразрешенной суперсверхтонкой структурой от лигандов.

Сигнал ЭПР слабой интенсивности, наблюдаемый в низкополевой части спектра ЭПР иона  $\text{Dy}^{3+}$  в  $\text{Y}_3\text{Al}_5\text{O}_{12}$  при ориентации внешнего магнитного поля вдоль оси [001] (рис. 1), обусловлен, по-видимому,

теми ионами диспрозия, ближайшее окружение которых искажено наличием дефекта. Как было показано в [13–15], для гранатов, выращенных высокотемпературными методами, характерно вхождение редкой земли или иттрия в *a*-узлы. Концентрация таких ионов равна примерно 1.5%. Поэтому весьма вероятно, что вблизи части ионов  $Dy^{3+}$  расположены ионы иттрия, замещающие алюминий в октаэдрических *a*-узлах. Это приводит к существенной деформации решетки вокруг таких ионов, поскольку ионный радиус  $Y^{3+}$  существенно больше ионного радиуса  $Al^{3+}$ .

Авторы выражают благодарность Х.С. Багдасарову за предоставленные кристаллы, А.Г. Бадаляну, В.А. Храмцову за полезные дискуссии и помочь в проведении экспериментов, а также В.Г. Грачеву за предоставление программы «R-spectr» для расчетов параметров спинового гамильтонiana.

### Список литературы

- [1] Асатрян Г.Р., Баранов П.Г., Жеков В.И., Мурина Т.И., Прохоров А.М., Храмцов В.А. ФТГ 33, 3, 976 (1991).
- [2] Norman P. Barns, Roger E. Allen. IEEE J. of Q.E 27, 2, 277 (1991).
- [3] Ball M., Garton G., Leask M.J.M., Ryan D., Wolf W.P. J. of Appl. Phys. Suppl. 32, 3, 267 (1961).
- [4] Wolf W.P., Ball M., Hutchings M.T., Leask M.J.M., Wyatt A.F.G. J. of Phys. Soc. Jap. 17, Suppl. B-1, 443 (1962).
- [5] Bleany B. Technical Report. Properties of Rare Earth and Transition Group Ions. Clarendon laboratory University of Oxford (1963). P. 63–192.
- [6] Карисс Я.Э., Феофилов П.П. Опт. и спектр. 15, 4, 572 (1963).
- [7] Aoyagi K., Tsuchima K., Uesugi M. J. of Phys. Soc. Jap. 27, 1, 49 (1969).
- [8] Washimya Sh. J. of Phys. Soc. Jap. 27, 1, 56 (1969).
- [9] Euler F., Bruce J.A. Acta Cryst. 19, 971 (1957).
- [10] Власова М.В., Каказей Н.Г., Калиниченко А.М., Литовченко А.С. Радиоспектроскопические свойства неорганических материалов. Справочник. Киев (1987). 719 с.
- [11] Альтшулер С.А., Козырев Б.М. Электронный парамагнитный резонанс соединений элементов промежуточных групп. 2-е изд. М. (1972). 672 с.
- [12] Абрагам А., Блинни Б. Электронный парамагнитный резонанс переходных ионов. В 2 т. М. (1972).
- [13] Geller S., Espinosa G.P., Fullmer L.D. Mater. Res. Bull. 7, 11, 1219 (1972).
- [14] Воронько Ю.К., Соболь А.А. Тр. ФИАН 98, 41 (1977).
- [15] Багдасаров Х.С., Федоров Е.А., Жеков В.И., Лобачев В.А. Тр. ИОФАН 19, 112 (1989).